# 吹付けモルタルのひびわれ補修材に関する検討

九州共立大学 学生員 坂井 義彰 正会員 高山 俊一 九州共立大学 (株)グリーン有機資材 末松 寿博

#### 1. まえがき

平地の少ない我が国では、道路建設は山地の斜面を削って造られること が多い。この場合、斜面の土砂の崩壊を防止するため、斜面にモルタル吹 き付けが行われている。モルタルの吹付け部分はある程度時間が経過する とひびわれが発生することがある。斜面をいつまでも安定した状態に保つ ため、ひびわれ部分は補修材によって修理をしなければならない。このひ びわれ補修材としての適用判断を行うために実験を行った。補修材とし 表-2 セメントペーストの配合(g/Q) ては、主成分がケイ酸質塗布材のタックSと、比較のためにラテックス R および普通ポルトランドセメントペースト C(繊維を混合)の合計 3 種類 で実験を行った。

#### 2. 実験概要

2.1 供試体の寸法および形状 モルタル吹き付けのひびわれを想定し、 40×40×160 mmの鋼製型枠を利用し、長手方向の中央に、厚さ約2 mmの ベニヤ板を挟み、中央がひびわれとなる供試体を作製した。表-1はモ ルタルの配合を示す。補修材は、タックS、ラテックスRおよびセメン トペースト C(繊維を混合)の3種類を使用した。中央部分にはひびわれ を想定し、番線、銅線を挟み、中央間隔を0mm、0.7mmおよび1.6mmと

した。曲げ強度試験は図-1の中央一点載荷試験で行った。 表-3 曲げ破壊荷重とクリープ載荷荷重比 2.2 曲げクリープ試験方法 供試体中央下部に補修材を塗 布し、補修材表面にストレンゲージ(PL-20)を貼付し、下縁 のひずみを測定した。2009年10月29日からクリープ試験 を開始した。載荷荷重は、静的曲げ強度の0%、20%および40% の荷重で行った。載荷荷重比は表-3に示す。

### 3. 結果および考察

3.1 曲げ強度 図-2 は3 種類の補修材による曲げ強度と中 央間隔の関係である。同図によると、中央間隔が大きくなるほ ど、曲げ強度は減少している。しかしながら、タックSの補修 材による曲げ強度は他の2種類のそれに比べて大きく、間隔の 大きさによる強度の低下は小さい。RおよびCの曲げ強度はほ ぼ同程度であるものと考える。

3.2 弾性係数 表-4 はクリープ試験の載荷時の弾性ひずみか ら弾性係数を求めたものである。図-3は、3種類の補修材ご

供試体の配合(g/l)

セメント	水	細骨 材	A E 減 水剤
534	240	1377	1.6

セメント	水	A E 減水 剤	繊維
1620	481	4.9	2. 1

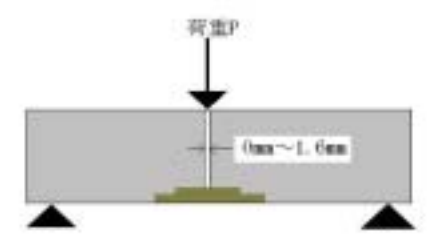


図-1 中央一点載荷法

種類	中央間隔	曲げ破壊 荷重	11/32/2	荷重比(kgf)	
1里4月	(mm)	他重 (kgf)	$(N/mm^2)$	20%	40%
タック	0	765(78)	1. 79	15.6	31. 2
(S)	0.7	795 (81)	1.86	16.2	32. 4
(3)	1.6	540 (55)	1.26	11.0	22.0
ラテックス	0	461 (47)	1.08	9.4	18.8
(R)	0.7	314 (32)	0.74	6.4	12.8
(K)	1.6	167(17)	0.39	3.4	6.8
セメント	0	647(66)	1.52	13. 2	26. 4
(C)	0.7	353 (36)	0.83	7.2	14. 4
(0)	1.6	167(17)	0.39	3.4	6.8

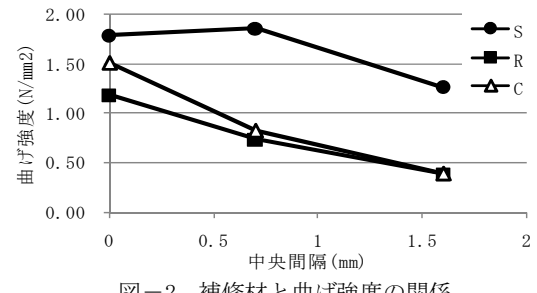


図-2 補修材と曲げ強度の関係

との荷重比 20%と 40%の弾性係数を図に示した。同図によるとタック S は弾性係数が最も小さく、セメントと 比べると約10×10<sup>2</sup>N/mm<sup>2</sup>小さいことが分かる。このことから、タックSは弾性係数が小さいために伸び能力 に優れていると考える。

表-4 載荷荷重から求めた弾性係	表一4	載荷荷重か	ら求めた	_弹性係数
------------------	-----	-------	------	-------

表一4 戦何何重から求めた神性係数							
種類	中央間隔	載荷荷重 による弾 性ひずみ (μ)		弾性係数(N/mm²)			
		20%	40%	20%	40%		
h as h	O	945	1197	$3.79 \times 10^2$	$5.98 \times 10^2$		
タック	0.7	1487	2140	$2.50 \times 10^{2}$	$3.47 \times 10^2$		
5	1.6	1789	3117	$1.41 \times 10^{2}$	$1.62 \times 102$		
== 4 =	0	117	343	18. $44 \times 10^2$	12. $58 \times 10^2$		
ファックへ R	0.7	158	505	$9.32 \times 10^2$	$5.82 \times 10^2$		
IX	1.6	113	168	$6.90 \times 10^2$	$9.29 \times 10^2$		
セメント	0	221	381	13. $71 \times 10^2$			
	0.7	151	220	10. $94 \times 10^2$	15. $05 \times 10^2$		
Ü	1.6	68	100	11. $56 \times 10^2$	15. $6 \times 10^2$		

3.3 クリープ試験 図-4 はタック S を用いた各荷重による クリープひずみ曲線を示す。図中の凡例は、2番目の数字が 中央間隔を、3番目が載荷荷重比を示している。同図による と、クリープひずみは載荷荷重比が40%の場合が最も大きく、 約50日で2700μにも達している。また、荷重比が20%で、 中央間隔が 0 mmの場合は 50 日で約 1600 μ に達している。図 -5~図-7はセメントペーストCを用いた場合のクリープ ひずみ曲線を示す。図-5は載荷荷重比0%、図-6は荷重比 20%、図-7は荷重比40%の場合のクリープ曲線である。図-5~図-7の3図を比べると、ばらつきが多いがセメントC を用いた場合のクリープ曲線は載荷荷重が大きくなるほど クリープひずみが増大している。図-6および図-7による と、中央間隔が小さいほどクリープひずみは増大している。 最初、中央間隔が大きいほど、下縁のクリープひずみは大き くなるものと考えていた。しかしながら、測定結果は逆の結 果となった。この理由としては、中央間隔が小さいほど載荷 荷重が大きくなっているためではないかと考える。すなわち、 表-3に示す様に曲げ破壊荷重は中央間隔が小さいほど大 きくなっている。中央間隔 0 mmの破壊荷重は 647N(66kgf)で あるが、間隔 1.6 mmの場合は 167N(17kgf) である。この載荷 荷重の違いがセメントCの場合に大きく影響しているもの と考える。図-6と図-7を比べると、載荷比が40%と大き い図-7のクリープひずみは間隔0mmの場合が約560 $\mu$ にな っている。図-7によると、クリープひずみは今後も増加す る傾向を示している。タックSとセメントCのクリープひず みを比べると、タックSのクリープひずみが載荷荷重20%の 場合、約50日で1500 $\mu$ 以上となり、著しく大きなクリープ ひずみであることが分かる。載荷荷重40%でのクリープひず みは約2700μとなっている。このことからケイ酸質のタッ クSの伸び能力が極めて大きいことがわかる。

## 4. まとめ

本研究の結果から、タックSの特徴として、伸縮性に優れていることが分かった。

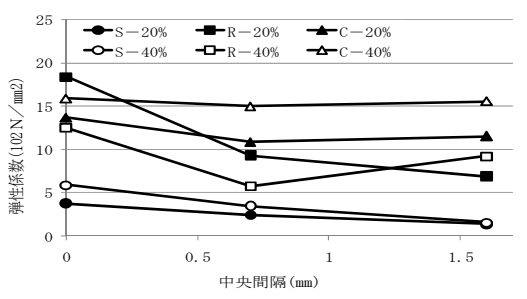
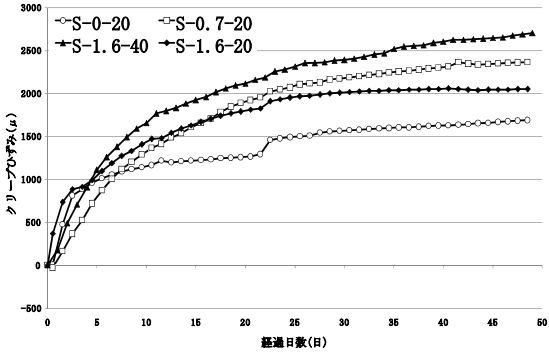
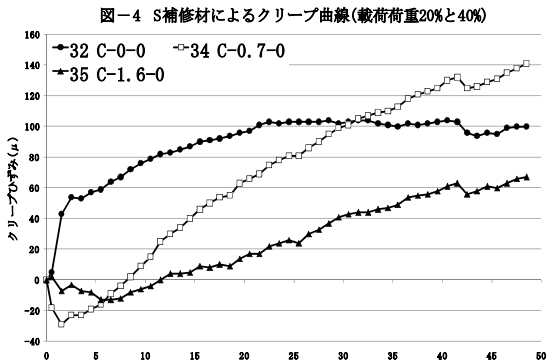
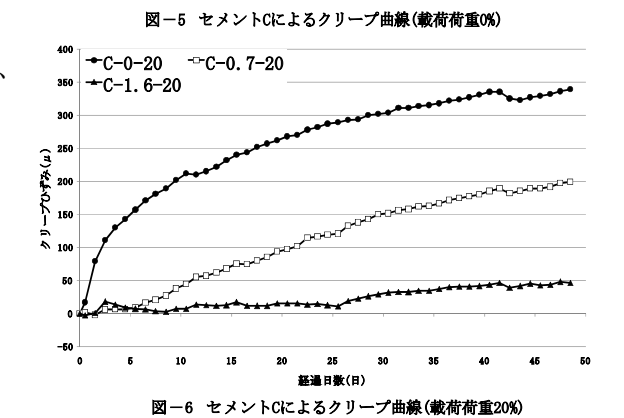


図-3 弾性ひずみから求めた弾性係数







程滑 H参(H)

47 C-0-40 -38 C-0. 7-40 -39 C-1. 6-40

300

100

100

500

100

500

100

500

100

500

500

500

500

500

500

500

500

500

500

500

500

500

500

500

500

500

500

500

500

500

500

500

500

500

500

500

500

500

500

500

500

500

500

500

500

500

500

500

500

500

500

500

500

500

500

500

500

500

500

500

500

500

500

500

500

500

500

500

500

500

500

500

500

500

500

500

500

500

500

500

500

500

500

500

500

500

500

500

500

500

500

500

500

500

500

500

500

500

500

500

500

500

500

500

500

500

500

500

500

500

500

500

500

500

500

500

500

500

500

500

500

500

500

500

500

500

500

500

500

500

500

500

500

500

500

500

500

500

500

500

500

500

500

500

500

500

500

500

500

500

500

500

500

500

500

500

500

500

500

500

500

500

500

500

500

500

500

500

500

500

500

500

500

500

500

500

500

500

500

500

500

500

500

500

500

500

500

500

500

500

500

500

500

500

500

500

500

500

500

500

500

500

500

500

500

500

500

500

500

500

500

500

500

500

500

500

500

500

500

500

500

500

500

500

500

500

500

500

500

500

500

500

500

500

500

500

500

500

500

500

500

500

500

500

500

500

500

500

500

500

500

500

500

500

500

500

500

500

500

500

500

500

500

500

500

500

500

500

500

500

500

500

500

500

500

500

500

500

500

500

500

500

500

500

500

500

500

500

500

500

500

500

500

500

500

500

500

500

500

500

500

500

500

500

500

500

500

500

500

500

500

500

500

500

500

500

500

500

500

500

500

500

500

500

500

500

500

500

500

500

500

500

500

500

500

500

500

500

500

500

500

500

500

500

500

500

500

500

500

500

500

500

500

500

500

500

500

500

500

500

500

500

500

500

500

500

500

500

500

500

500

500

500

500

500

500

500

500

500

500

500

500

500

500

500

500

500

500

500

500

500

500

500

500

500

500

500

500

500

500

500

50

図-7 セメントCによるクリープ曲線(載荷荷重40%)